

Starkniederschlagshöhen und -spenden gemäß KOSTRA-DWD-2020

Rasterfeld 199152

(Zeile 199, Spalte 152)

Regenspende und Bemessungsniederschlagswerte in Abhängigkeit von Wiederkehrzeit T und Dauerstufe D

| Dauerstufe D | | Wiederkehrzeit T | | | | | | | | | | | | | | | | | |
|--------------|-----|------------------|------------|------|------------|------|------------|------|------------|-------|------------|-------|------------|-------|------------|-------|------------|-------|------------|
| | | 1 a | | 2 a | | 3 a | | 5 a | | 10 a | | 20 a | | 30 a | | 50 a | | 100 a | |
| min | Std | mm | l / (s ha) | mm | l / (s ha) | mm | l / (s ha) | mm | l / (s ha) | mm | l / (s ha) | mm | l / (s ha) | mm | l / (s ha) | mm | l / (s ha) | mm | l / (s ha) |
| 5 | | 8,5 | 283,3 | 10,2 | 340,0 | 11,3 | 376,7 | 12,7 | 423,3 | 14,7 | 490,0 | 16,8 | 560,0 | 18,2 | 606,7 | 19,9 | 663,3 | 22,5 | 750,0 |
| 10 | | 10,9 | 181,7 | 13,1 | 218,3 | 14,5 | 241,7 | 16,3 | 271,7 | 18,9 | 315,0 | 21,6 | 360,0 | 23,3 | 388,3 | 25,6 | 426,7 | 28,9 | 481,7 |
| 15 | | 12,4 | 137,8 | 14,9 | 165,6 | 16,4 | 182,2 | 18,5 | 205,6 | 21,4 | 237,8 | 24,5 | 272,2 | 26,5 | 294,4 | 29,1 | 323,3 | 32,8 | 364,4 |
| 20 | | 13,5 | 112,5 | 16,2 | 135,0 | 17,9 | 149,2 | 20,1 | 167,5 | 23,3 | 194,2 | 26,6 | 221,7 | 28,8 | 240,0 | 31,7 | 264,2 | 35,7 | 297,5 |
| 30 | | 15,1 | 83,9 | 18,1 | 100,6 | 20,0 | 111,1 | 22,5 | 125,0 | 26,1 | 145,0 | 29,8 | 165,6 | 32,3 | 179,4 | 35,5 | 197,2 | 40,0 | 222,2 |
| 45 | | 16,8 | 62,2 | 20,2 | 74,8 | 22,3 | 82,6 | 25,1 | 93,0 | 29,1 | 107,8 | 33,3 | 123,3 | 36,0 | 133,3 | 39,5 | 146,3 | 44,6 | 165,2 |
| 60 | 1 | 18,1 | 50,3 | 21,8 | 60,6 | 24,1 | 66,9 | 27,1 | 75,3 | 31,4 | 87,2 | 35,9 | 99,7 | 38,8 | 107,8 | 42,6 | 118,3 | 48,1 | 133,6 |
| 90 | 1,5 | 20,1 | 37,2 | 24,2 | 44,8 | 26,7 | 49,4 | 30,0 | 55,6 | 34,8 | 64,4 | 39,8 | 73,7 | 43,0 | 79,6 | 47,2 | 87,4 | 53,3 | 98,7 |
| 120 | 2 | 21,6 | 30,0 | 26,0 | 36,1 | 28,7 | 39,9 | 32,3 | 44,9 | 37,4 | 51,9 | 42,7 | 59,3 | 46,2 | 64,2 | 50,8 | 70,6 | 57,3 | 79,6 |
| 180 | 3 | 23,9 | 22,1 | 28,7 | 26,6 | 31,7 | 29,4 | 35,7 | 33,1 | 41,4 | 38,3 | 47,2 | 43,7 | 51,1 | 47,3 | 56,1 | 51,9 | 63,3 | 58,6 |
| 240 | 4 | 25,6 | 17,8 | 30,8 | 21,4 | 34,1 | 23,7 | 38,3 | 26,6 | 44,4 | 30,8 | 50,7 | 35,2 | 54,8 | 38,1 | 60,2 | 41,8 | 68,0 | 47,2 |
| 360 | 6 | 28,3 | 13,1 | 34,1 | 15,8 | 37,6 | 17,4 | 42,3 | 19,6 | 49,1 | 22,7 | 56,0 | 25,9 | 60,6 | 28,1 | 66,5 | 30,8 | 75,1 | 34,8 |
| 540 | 9 | 31,2 | 9,6 | 37,6 | 11,6 | 41,5 | 12,8 | 46,7 | 14,4 | 54,1 | 16,7 | 61,8 | 19,1 | 66,9 | 20,6 | 73,4 | 22,7 | 82,9 | 25,6 |
| 720 | 12 | 33,5 | 7,8 | 40,3 | 9,3 | 44,5 | 10,3 | 50,1 | 11,6 | 58,1 | 13,4 | 66,3 | 15,3 | 71,7 | 16,6 | 78,8 | 18,2 | 88,9 | 20,6 |
| 1080 | 18 | 37,0 | 5,7 | 44,5 | 6,9 | 49,1 | 7,6 | 55,3 | 8,5 | 64,1 | 9,9 | 73,2 | 11,3 | 79,1 | 12,2 | 86,9 | 13,4 | 98,1 | 15,1 |
| 1440 | 24 | 39,6 | 4,6 | 47,7 | 5,5 | 52,7 | 6,1 | 59,2 | 6,9 | 68,7 | 8,0 | 78,4 | 9,1 | 84,8 | 9,8 | 93,2 | 10,8 | 105,2 | 12,2 |
| 2880 | 48 | 46,9 | 2,7 | 56,4 | 3,3 | 62,3 | 3,6 | 70,1 | 4,1 | 81,2 | 4,7 | 92,8 | 5,4 | 100,3 | 5,8 | 110,2 | 6,4 | 124,4 | 7,2 |
| 4320 | 72 | 51,7 | 2,0 | 62,2 | 2,4 | 68,7 | 2,7 | 77,3 | 3,0 | 89,6 | 3,5 | 102,3 | 3,9 | 110,7 | 4,3 | 121,6 | 4,7 | 137,2 | 5,3 |
| 5760 | 96 | 55,4 | 1,6 | 66,7 | 1,9 | 73,7 | 2,1 | 82,9 | 2,4 | 96,1 | 2,8 | 109,7 | 3,2 | 118,6 | 3,4 | 130,3 | 3,8 | 147,1 | 4,3 |
| 7200 | 120 | 58,5 | 1,4 | 70,4 | 1,6 | 77,8 | 1,8 | 87,4 | 2,0 | 101,4 | 2,3 | 115,8 | 2,7 | 125,2 | 2,9 | 137,5 | 3,2 | 155,2 | 3,6 |
| 8640 | 144 | 61,1 | 1,2 | 73,6 | 1,4 | 81,3 | 1,6 | 91,4 | 1,8 | 106,0 | 2,0 | 121,0 | 2,3 | 130,8 | 2,5 | 143,7 | 2,8 | 162,2 | 3,1 |
| 10080 | 168 | 63,4 | 1,0 | 76,3 | 1,3 | 84,3 | 1,4 | 94,8 | 1,6 | 110,0 | 1,8 | 125,6 | 2,1 | 135,8 | 2,2 | 149,2 | 2,5 | 168,4 | 2,8 |

Starkniederschlagshöhen und -spenden gemäß KOSTRA-DWD-2020

Rasterfeld 199152

(Zeile 199, Spalte 152)

Örtliche Unsicherheiten in Abhängigkeit von Wiederkehrzeit T und Dauerstufe D

| Dauerstufe D | | Wiederkehrzeit T | | | | | | | | |
|--------------|-----|------------------|-----|-----|-----|------|------|------|------|-------|
| | | 1 a | 2 a | 3 a | 5 a | 10 a | 20 a | 30 a | 50 a | 100 a |
| min | Std | ± % | ± % | ± % | ± % | ± % | ± % | ± % | ± % | ± % |
| 5 | | 15 | 16 | 16 | 17 | 17 | 18 | 18 | 18 | 19 |
| 10 | | 19 | 20 | 21 | 21 | 22 | 23 | 23 | 23 | 24 |
| 15 | | 21 | 22 | 23 | 23 | 24 | 25 | 25 | 25 | 26 |
| 20 | | 22 | 23 | 24 | 24 | 25 | 26 | 26 | 26 | 27 |
| 30 | | 23 | 24 | 24 | 25 | 26 | 26 | 27 | 27 | 27 |
| 45 | | 23 | 24 | 24 | 25 | 26 | 26 | 27 | 27 | 27 |
| 60 | 1 | 22 | 24 | 24 | 25 | 26 | 26 | 26 | 27 | 27 |
| 90 | 1,5 | 22 | 23 | 23 | 24 | 25 | 25 | 26 | 26 | 26 |
| 120 | 2 | 21 | 22 | 23 | 23 | 24 | 25 | 25 | 25 | 26 |
| 180 | 3 | 20 | 21 | 22 | 22 | 23 | 23 | 24 | 24 | 24 |
| 240 | 4 | 19 | 20 | 21 | 21 | 22 | 23 | 23 | 23 | 24 |
| 360 | 6 | 18 | 19 | 19 | 20 | 21 | 21 | 22 | 22 | 22 |
| 540 | 9 | 17 | 18 | 18 | 19 | 20 | 20 | 20 | 21 | 21 |
| 720 | 12 | 16 | 17 | 18 | 18 | 19 | 19 | 20 | 20 | 20 |
| 1080 | 18 | 16 | 16 | 17 | 17 | 18 | 18 | 19 | 19 | 19 |
| 1440 | 24 | 15 | 16 | 16 | 17 | 17 | 18 | 18 | 18 | 19 |
| 2880 | 48 | 15 | 15 | 16 | 16 | 16 | 17 | 17 | 17 | 17 |
| 4320 | 72 | 15 | 15 | 16 | 16 | 16 | 16 | 17 | 17 | 17 |
| 5760 | 96 | 16 | 16 | 16 | 16 | 16 | 16 | 17 | 17 | 17 |
| 7200 | 120 | 16 | 16 | 16 | 16 | 16 | 17 | 17 | 17 | 17 |
| 8640 | 144 | 17 | 16 | 16 | 16 | 17 | 17 | 17 | 17 | 17 |
| 10080 | 168 | 17 | 17 | 17 | 17 | 17 | 17 | 17 | 17 | 17 |

Parameter für abweichende T und D

Lokationsparameter ξ (Xi)

18,41582604

Skalenparameter α (Alpha)

5,21022609

Formparameter κ (Kappa)

-0,1

1. Koutsoyiannis-Parameter θ (Theta)

0,02154379

2. Koutsoyiannis-Parameter η (Eta)

0,75848252

Parameter für dauerstufenübergreifende Extremwertschätzung nach KOUTSOYIANNIS et al. 1998.

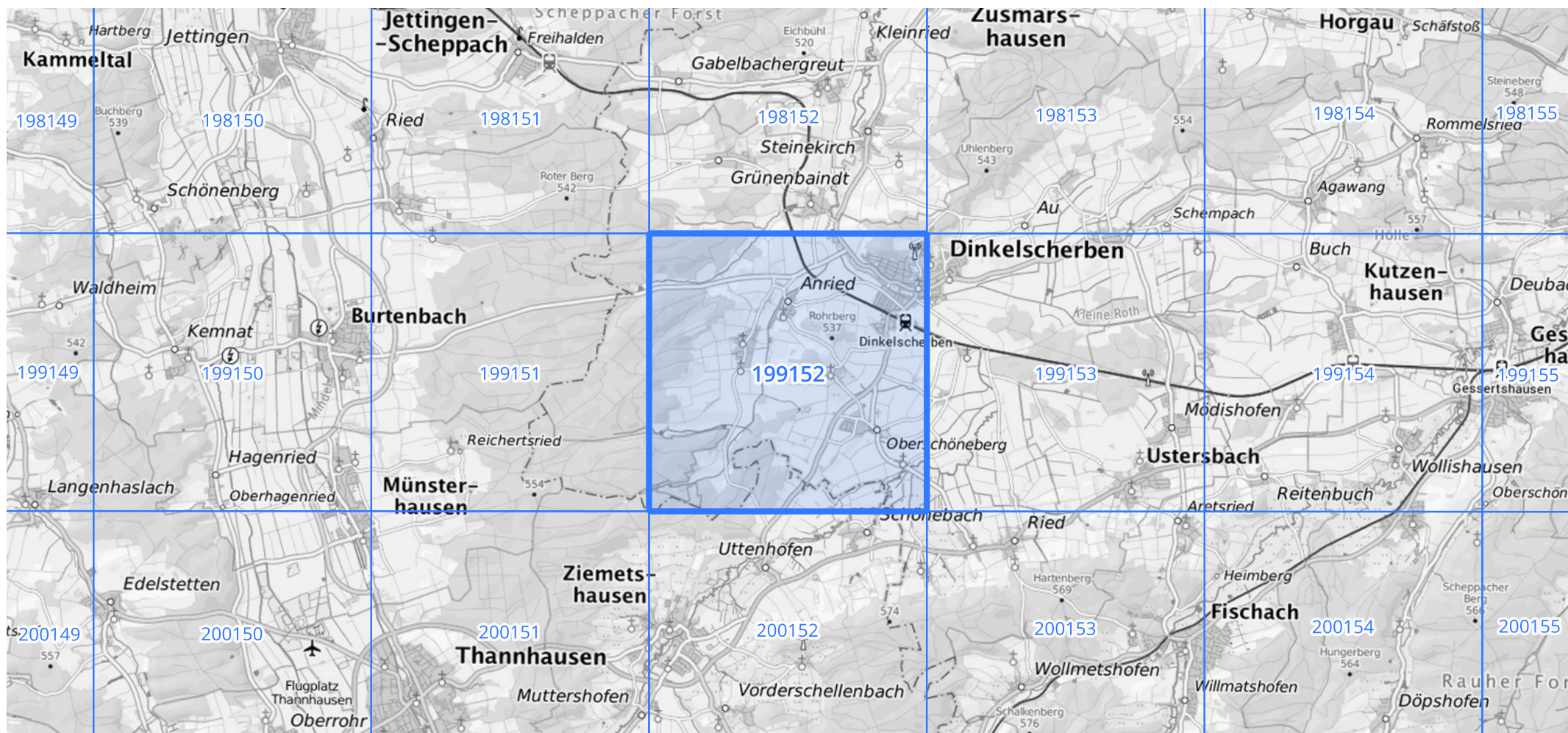
Siehe auch Anwendungshilfe zu KOSTRA-DWD-2020 des Deutschen Wetterdienstes.

Starkniederschlagshöhen und -spenden gemäß KOSTRA-DWD-2020

Rasterfeld 199152

(Zeile 199, Spalte 152)

Übersichtskarte des Rasterfeldes 199152, M 1 : 100 000



Quelle Rasterdaten: KOSTRA-DWD-2020 des Deutschen Wetterdienstes, Stand 12/2022.

Seite 3 von 3

Kartendarstellung: © Bundesamt für Kartographie und Geodäsie (2023), Datenquellen: https://sgx.geodatenzentrum.de/web_public/gdz/datenquellen/Datenquellen_TopPlusOpen.html

Für die Richtigkeit und Aktualität der Angaben wird keine Gewähr übernommen. Erstellt 01/2023.